

Aprendizaje supervisado en redes multicapa

Pablo Chehade

pablo.chehade@ib.edu.ar

Redes Neuronales, Instituto Balseiro, CNEA-UNCuyo, Bariloche, Argentina, 2023

EJERCICIO 1

Se implementaron dos arquitecturas para el aprendizaje de la regla XOR, las cuales se ilustran en la figura 1, considerando, en cada caso, una entrada adicional para simular el bias.

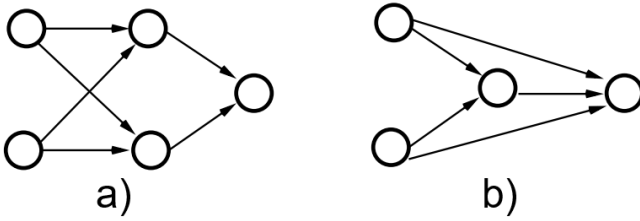


Figura 1: Arquitecturas utilizadas para el aprendizaje de la regla XOR, denominadas como arquitecturas a) A y b) B.

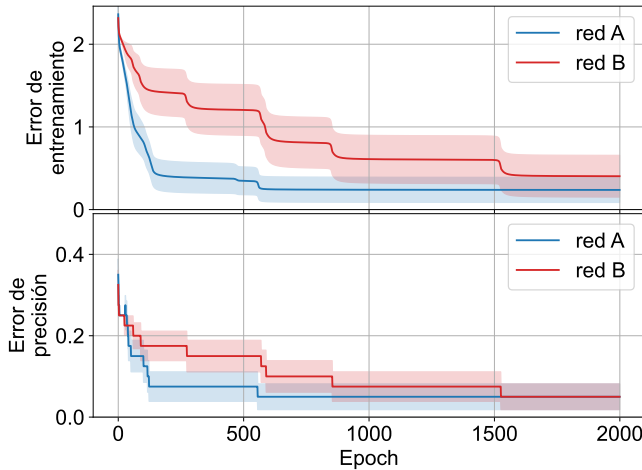


Figura 2: Valor medio del a) error de entrenamiento y b) error de precisión en función de las épocas de entrenamiento para las arquitecturas A y B. El sombreado indica la desviación estándar del promedio.

El aprendizaje fue ejecutado mediante el algoritmo de retropropagación de errores (back-propagation), con pesos inicializados aleatoriamente con un valor máximo de 0.1 y un learning rate establecido en 0.1. La función de costo empleada fue el error cuadrático medio (MSE) y se utilizó $f(x) = \tanh(x)$ como función de transferencia. Los datos de entrenamiento engloban todas las posibles combinaciones de entradas y salidas. Mientras que los datos de test corresponden al mismo conjunto de datos de

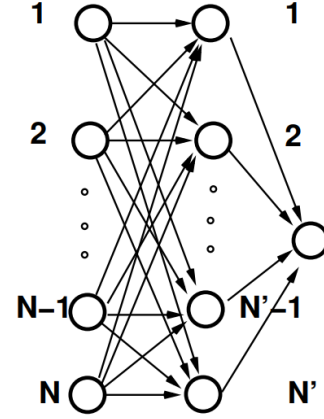


Figura 3: Arquitectura utilizada para abordar el problema de paridad.

entrenamiento.

En la Figura 2 se grafican los valores medios del error de entrenamiento y de precisión en función de las épocas para ambas arquitecturas, promediados sobre 10 condiciones iniciales de los pesos. En ambas arquitecturas, se evidencia una disminución de los errores a lo largo del tiempo, sin alcanzar un error nulo, posiblemente debido a que algunas redes se estabilizan en mínimos locales. De forma comparativa, la arquitectura A demuestra una velocidad de aprendizaje superior a la B.

Además, se observó cualitativamente que la velocidad de convergencia es influenciada por el valor máximo posible en la inicialización de los pesos y por el learning rate, existiendo configuraciones de ambos parámetros en las cuales el error no converge.

EJERCICIO 2

Se abordó la resolución del problema de paridad, extendiendo la lógica del XOR a N entradas. La arquitectura utilizada se muestra en la figura 3, habiendo N' neuronas en la capa oculta y añadiendo una entrada adicional para simular el bias. El entrenamiento se llevó a cabo a través del algoritmo de retropropagación de errores, manteniendo la función de transferencia y la inicialización de los pesos idénticas al ejercicio previo y un learning rate de 0.05. Se establecieron $N = 5$ y $N' = 1, 3, 5, 7, 9$ y 11 . Al igual que antes, los datos de entrenamiento engloban todas las posibles combinaciones de entradas y salidas. Mientras que los datos de test corresponden al mismo conjunto de datos de entrenamiento.

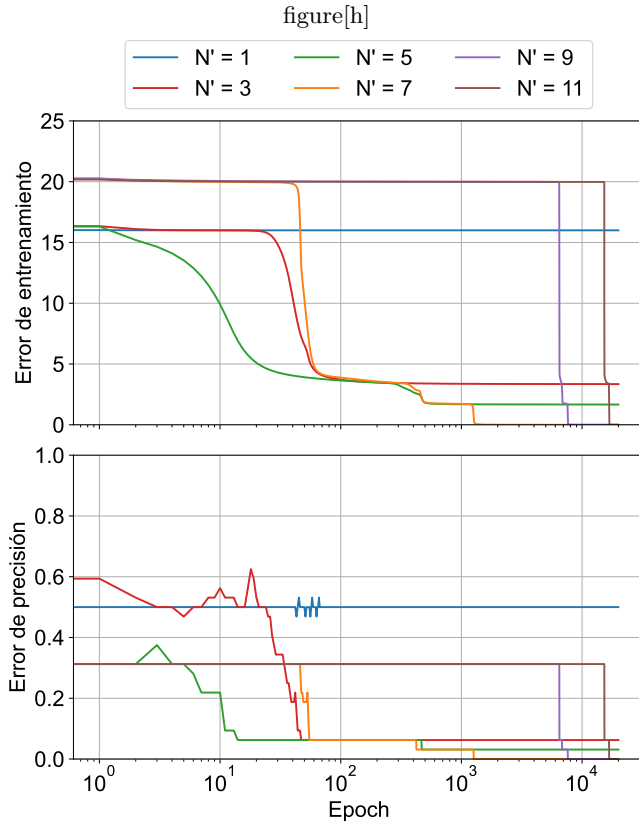


Figura 4: a) Error de entrenamiento y b) error de precisión en función de las epochs de entrenamiento, variando el número de neuronas N' en la capa oculta.

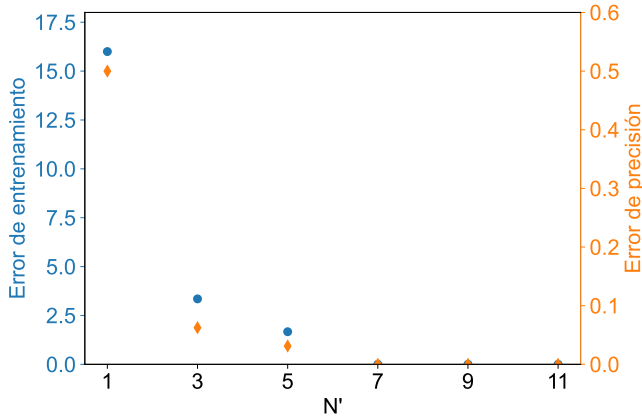


Figura 5: Error de entrenamiento y error de precisión final en función del número de neuronas N' en la capa oculta.

En la figura 4 se grafica el error de entrenamiento y de precisión en función de las epochs, explorando los diversos valores de N' .

Se observa que para $N' = 1$ el método converge pero con un gran error. Para $N' = 3$, la convergencia es más gradual hacia un error menor que el anterior pero distin-

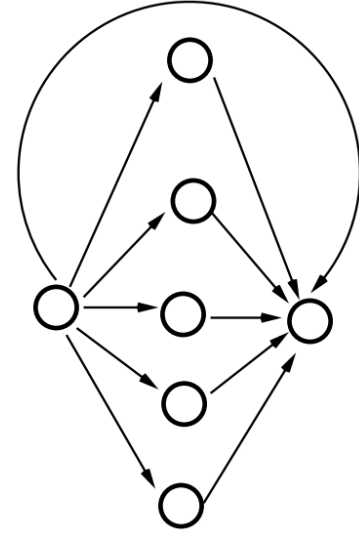


Figura 6: Arquitectura adoptada para el aprendizaje del mapeo logístico.

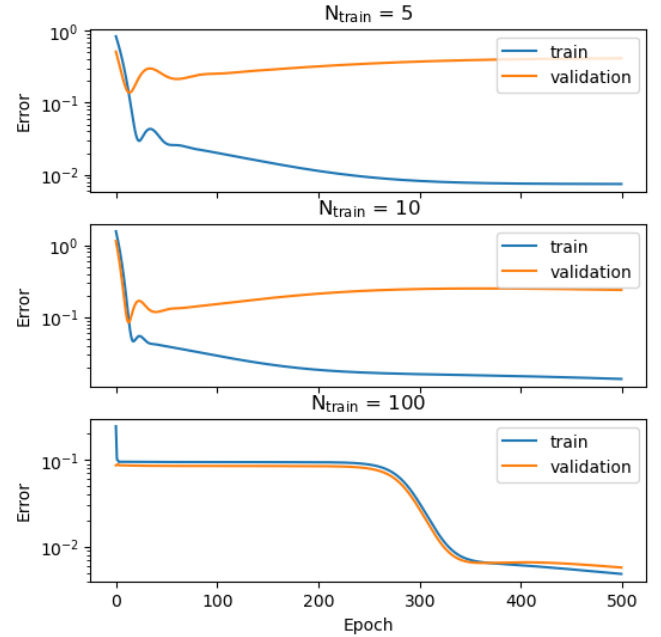


Figura 7: Error de entrenamiento y error de precisión en función de las epochs de entrenamiento, para distintas cantidades de ejemplos N_{train} en los datos de entrenamiento.

to de cero. Con incrementos en N' , la tendencia persiste: la convergencia es más lenta pero converge hacia errores progresivamente menores. Cuando $N' \geq 5$, el error se anula pasado cierto número de epochs. Este fenómeno es evidenciado de forma más clara en la figura 5, donde se grafica el error final en función de N' . Se observa que el error decae con el aumento de N' , directamente relacionado con la complejidad de la red.

EJERCICIO 3

Se procedió al aprendizaje del mapeo logístico utilizando el método de retropropagación de errores, con la arquitectura representada en la figura 6 y añadiendo una entrada adicional para simular el bias. Se estableció un learning rate de 0.01 y, para las capas ocultas, se implementó la función de transferencia $g(x) = 1/(1 + \exp(-x))$, mientras que la neurona de salida adoptó una función de activación lineal.

Se generaron los N_{train} datos de entrenamiento a través de la iteración del mapeo $x(t+1) = 4x(t)(1-x(t))$. De este modo, los datos corresponden a los pares $x(t)$, $x(t+1)$. Además, se utilizaron 100 datos generados de

manera análoga como ejemplos de prueba.

En la figura 7 se grafica el error de entrenamiento y el error de generalización, calculado sobre los datos de prueba, en función de las epochs. Para $N_{train} = 5$ y 10, el comportamiento observado indica que, ante un número bajo de epochs, se está en condiciones de underfitting; luego, el error de generalización alcanza un mínimo y, posteriormente, aumenta, indicando una condición de overfitting. En cambio, para $N_{train} = 100$, la gran cantidad de datos permite que ambos errores sean muy similares, sin llegar a presentar overfitting. Este comportamiento con variaciones en N_{train} se justifica en que el error de generalización tiende a disminuir con la cantidad de ejemplos.

I. APÉNDICE

A continuación se desarrolla el código empleado durante este trabajo implementado en Python.

```

1  #Import libraries
2  import matplotlib.pyplot as plt
3  import numpy as np

```
